



دانشگاه اصفهان

دانشکده علوم

گروه فیزیک

پایان نامه‌ی کارشناسی ارشد فیزیک گرایش اتمی - مولکولی

حالتهای تک الکترونی و جذب اپتیکی بین نواری در فانولوله‌های کربنی تک دیواره‌ای

استاد راهنما:

دکتر فردین خیراندیش

پژوهشگر:

امین اسفندیارپور

۱۳۸۸ دی ماه

کلیه حقوق مادی مترتب بر نتایج مطالعات، ابتكارات
و نوآوری های ناشی از تحقیق موضوع این پایان نامه
متعلق به دانشگاه اصفهان است.



دانشگاه اصفهان

دانشکده علوم

گروه فیزیک

پایان نامه‌ی کارشناسی ارشد فیزیک گرایش اتمی-مولکولی آقای
امین اسفندیارپور تحت عنوان

حالتهای تک الکترونی و جذب اپتیکی بین نواحی در نانولوله‌های گربنی تک
دیوارهای

در تاریخ ۸۸/۱۰/۳۰ توسط هیأت داوران زیر بررسی و با درجه به تصویب نهایی رسید.

۱- استاد راهنمای پایان نامه دکتر فردین خیر اندیش با مرتبه‌ی علمی دانشیار

۲- استاد داور داخل گروه دکتر غلامرضا راشدی با مرتبه‌ی علمی استادیار

۳- استاد داور خارج از گروه دکتر حسن سبزیان با مرتبه‌ی علمی دانشیار

امضا مدیر گروه



چکیده

فیزیک نانولوله های کربنی، پس از کشف آن توسط ایتیجیما که نانولوله های دو - دیواره را در سال ۱۹۹۱ و نانولوله های تک - دیواره را دو سال بعد کشف کرد، به سرعت وارد زمینه های تحقیقاتی شد. پس از آن تحقیقات متعدد نظری و تجربی در زمینه های گوناگونی مثل مکانیک، اپتیک، الکترونیک و ... روی آن انجام شده و پیشرفت‌های قابل توجهی در این زمینه در دهه اخیر بدست آمده است. مبحث خواص اپتیکی نانولوله ها مورد توجه ما در این پایان نامه است.

در فصل اول، نانولوله های کربنی و ساختار هندسی آن را معرفی می کنیم. از آنجا که تقارن نانولوله ها در درک مفاهیم عمیق خواص فیزیکی آنها کمک می کند. در فصل دوم، تقارن کامل نانولوله های تک دیواره - و دو دیواره را بدست می آوریم. ضمن اینکه با توجه به گروه تقارنی نانولوله های تک دیواره، جایگاه اتمها را توسط این اعداد تقارنی بدست می آوریم. در فصل سوم، فعالیت اپتیکی همراه با محورهای اپتیکی بررسی می شود. این نتایج می تواند برای برپایی آزمایشات روی نانو ابزارهای اپتیکی بسیار مفید باشد. مسئله ای شناسایی نانولوله ها بوسیله طیفهای اپتیکی، در مقیاس وسیعی از کاربردها دارای اهمیت است، لذا ما در فصل آخر، طیف جذبی اپتیکی برای گذار مستقیم بین نواری در نانولوله های کربنی را با استفاده از روش پتانسیل صفر - برد بدست می آوریم و نتایج بدست آمده را با طیف جذبی که توسط دیگر روش ها بدست آمده مقایسه می کنیم.

واژگان کلیدی: نانولوله های کربنی، گروه تقارنی نانولوله ها، فعالیت اپتیکی، پتانسیل صفر - برد، طیف جذبی

فهرست مطالب

عنوان	صفحه
-------	------

فصل اول: معرفی نانولوله های کربنی

۱	۱- مقدمه
۲	۲- نانولوله های کربنی
۴	۳- ساختار نانولوله های کربنی
۵	۱-۳-۱ نانولوله های تک دیواره
۹	۱-۳-۲ نانولوله های چند دیواره
۱۰	۱-۴ خواص الکترونی نانولوله ها

فصل دوم: گروه تقارنی نانولوله های تک دیواره و چند دیواره

۱۲	۱-۲ مقدمه
۱۳	۲- تقارن نانولوله ها
۱۴	۳- گروه های تقارنی نانولوله های تک دیواره
۲۰	۴- گروه های تقارنی نانولوله های دو دیواره و چند دیواره
۲۴	۵- نتیجه گیری

فصل سوم: بررسی فعالیت اپتیکی نانولوله های تک-دیواره و دو-دیواره بر اساس تقارن

۲۵	۱-۳ مقدمه
۲۶	۲-۳ تانسورهای دی الکتریک ϵ و فعالیت اپتیکی A و اصل نیومن
۲۹	۳- فعالیت اپتیکی در نانولوله های تک دیواره
۳۰	۴- فعالیت اپتیکی در نانولوله های دو - دیوار
۳۷	۵- نتیجه گیری

فصل چهارم: حالت های تک الکترونی و جذب اپتیکی بین نواری در نانولوله های کربنی تک-دیواره

۳۸	۱-۴ مقدمه
۳۹	۲- ساختار مارپیچی نانولوله های کربنی
۴۱	۳-۴ تقریب پتانسیل صفر - برد
۴۳	۴- طیف و توابع موج نوارهای الکترون ها

عنوان

صفحه

۴-۵ جذب اپتیکی ایجاد شده توسط گذار مستقیم بین نواری در نانو لوله های منزوی.....	۴۸.
۱-۵-۴ قطبش موازی.....	۴۹.
۲-۵-۴ قطبش دایروی راستگرد	۵۲
۳-۵-۴ قطبش دایروی چیگرد.....	۵۴
۶-۴ یک مثال	۵۵
۷-۴ بحث و مقایسه با جذب بوسیله ی یک صفحه ی گرافیت	۵۹
۸-۴ نتیجه گیری	۶۴
پیوست	۶۵
منابع و مأخذ	۷۵

فهرست شکل ها

عنوان	صفحه
شکل ۱-۱ مولکول C_6	۲
شکل ۲-۱ صفحه‌ی گرافن	۴
شکل ۳-۱ (الف) نانولوله‌های تک دیواره: (ب) نانولوله‌ی چند دیواره	۴
شکل ۴-۱ ساختار نانولوله‌های تک دیواره	۶
شکل ۵-۱ (الف) نانولوله‌ی یکدست (ب) نانولوله‌ی زیگزاگ (پ) نانولوله‌ی صندلی	۷
شکل ۶-۱ نانولوله‌های (الف) صندلی (ب) زیگزاک (پ) یک دست با کلاهک‌های فولرن	۸
شکل ۷-۱ تصویر یک دسته نانولوله که به روش تبخیر لیزری تولید شده	۹
شکل ۸-۱ تصویر یک نانولوله با بزرگنمایی بسیار بالا	۱۰
شکل ۱-۲ ناوردایی نانولوله‌ی تک دیواره تحت گروه تقارنی C_n	۱۶
شکل ۲-۲ موقعیت صفحات آینه‌ای و محورهای افقی مرتبه‌ی دوم برای نانولوله‌های لوله نشده: (الف) صندلی (ب) زیگزاگ (پ) یکدست	۱۸
شکل ۳-۲ موقعیت صفحات آینه‌ای و محورهای افقی مرتبه‌ی دوم برای نانولوله‌های لوله شده: (الف) صندلی (ب) زیگزاگ (پ) یکدست	۱۸
شکل ۴-۲ جایگاه اتم‌های نانولوله‌ی تک دیواره با توجه به اعداد تقارنی	۱۹
شکل ۱-۳ محورهای اپتیکی OA ممکن برای ضریب شکست های متفاوت	۲۷
شکل ۲-۳ محورهای اپتیکی و زوایای چرخش صفحه‌ی قطبش برای نانولوله‌های گوناگون (جهت فلش‌ها بیانگر جهت فرود نور در راستای محورهای اپتیکی و α و β زوایای چرخش صفحه‌ی قطبش را بیان می‌کند)	۳۰
شکل ۱-۴ پتانسیل مرکزی $U(r)$	۴۲
شکل ۲-۴ آرایش ناحیه‌ای از نانولوله‌ی (۱۴ و ۱۵) در مختصات حلقوی مارپیچی، که آرایش ناحیه‌ای توسعه یافته نام دارد	۴۶
شکل ۳-۴ نوار و طیف جذب برای یک نانولوله‌ی (۱۴ و ۱۵): (الف) قطبش موازی (ب) قطبش دایروی راستگرد	۵۶
شکل ۴-۴ وابستگی ضریب جذب برای نانولوله منزوی (۱۴ و ۱۵) به انرژی‌های متفاوت از به نور فردی (الف) هم قطبش (ب) با قطبش عرضی	۵۸

عنوان

صفحه

شکل ۴-۵ ساختار نواری برای یک صفحه‌ی گرافیت نامتناهی.	۶۰
شکل ۶-۴ مقادیر مجاز بردار موج برای نانولوله‌ی (۱۵,۱۴)	۶۱
شکل ۷-۴ مقادیر مجاز بردار موج برای نانولوله‌ی (۴,۲)	۶۱
شکل ۸-۴ طیف جذبی یک صفحه‌ی گرافیت برای گذار بین نواری مستقیم الکترون‌های π با استفاده از تقریب پتانسیل صفر-برد	۶۴

فهرست جدول ها

عنوان	صفحه
-------	------

- جدول ۲-۱ گروه تقارنی نانو لوله های چند دیواره ای زیگزاگ و صندلی برای لوله های نوسانی (لوله هایی که با همه ای مولفه هایش زیگزاگ است یا اینکه همه ای مولفه هایش صندلی باشد) ۲۳
- جدول ۴-۱ مقایسه ای مقادیر تجربی به دست آمده در [۱۷] با روش پتانسیل صفر-برد ۴۷

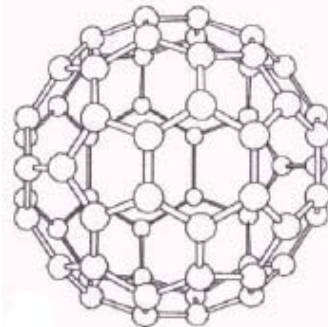
۱-۱ مقدمه

مواد تشکیل یافته از کربن (خوشه ها و مولکول ها) از جهات بسیاری مورد توجه هستند. تمایز مهم اتم کربن با عناصر دیگر تعدد آرایش های ممکن برای حالت های الکترونی آن است. آرایش های مختلف برای حالت های الکترونی اتم کربن به عنوان هیرید - اوربیتال های اتمی شناخته می شود که به پیوند اتم کربن با همسایه های نزدیک اش مربوط است. سه نوع هیریدشدگی مختلف در اتم کربن رخ می دهد که از ترکیب اوربیتال $2s$ با یک، دو و یا سه اوربیتال $2p$ حاصل می شوند و به ترتیب هیریدشدگی sp^1 ، sp^2 و sp^3 نامیده می شوند. در حالی که سایر عناصر گروه چهارم از قبیل Si و Ge فقط هیریدشدگی sp^3 از خود نشان می دهند، کربن دارای چندین شکل بلوری بسیار پایدار با خصوصیات بسیار متفاوت است. الماس از اتم های کربن که به واسطه ای پیوندهای sp^3 در چهار وجهی ها آرایش یافته اند ساخته شده است و عایق، شفاف و یکی از سخت ترین مواد عالم محسوب می شود. در مقابل، گرافیت به صورت صفحات روی هم چیده شده از اتم های کربن است که به واسطه ای پیوندهای sp^2 در شبکه ای شش ضلعی مرتب شده اند و بسیار نرم، شبه فلز، تیره ای برآق و دارای یکی از بالاترین نقاط ذوب است.

فصل اول

معرفی نانو لوله های کربنی

تا این اواخر، فقط این دو نوع ساختار کریستالی که تماماً از کربن هستند برای ما شناخته شده بودند. تا اینکه در سال ۱۹۸۵، ریچارد سمالی^۱ و همکارانش موفق به کشف مولکول C_{60} شدند (شکل ۱-۱). مولکول C_{60} ساختار یگانه‌ای دارد واقعاً یک قفس بسته از ۶۰ اتم کربن است. به جز C_{60} مولکول‌هایی پایدار دیگری نیز به شکل قفس‌های بسته وجود دارد که آن‌ها را به نام فولرن^۲ می‌شناسیم. یک نمونه از این مواد فولرن C_{70} است.



شکل ۱-۱ : مولکول C_{60}

به دنبال کشف فولرن‌ها، در یک بازه‌ی زمانی بسیار کوتاه چند شکل جدید از کربن شناخته شدند که در بین آن‌ها کشف نanolole‌های کربنی توسط ایشیجیما^۳ حائز اهمیت فراوانی است [۱]. Nanolole‌ها به خاطر خواص الکتریکی و مکانیکی یگانه‌ای که دارند مورد توجه بسیاری هستند و امروزه فعالیت‌های تحقیقاتی فراوانی برای بررسی خواص فیزیکی آن‌ها صورت می‌گیرد. آن‌ها هم می‌توانند مانند یک فلز جریان الکتریکی را از خود عبور دهند و هم می‌توانند مانند یک نیمه‌رسانا عمل کنند. Nanolole‌ها از استحکام بالایی برخوردار هستند و مدول یانگ بسیار بالایی دارند. علاوه بر این، Nanolole‌ها به سبب ساختار ویژه‌ای که دارند سامانه‌های آرمانی برای مطالعه‌ی فیزیک در ابعاد پایین به شمار می‌روند و می‌توان آن‌ها را به عنوان اولین نمونه‌ی واقعی سامانه‌های کوانتمی یک بعدی در نظر گرفت.

۱-۲ نanolole‌های کربنی

Nanolole‌ها با گرافیت که یکی از قدیمی‌ترین شکل‌های شناخته شده‌ی کربن است رابطه‌ی بسیار نزدیکی دارند. برای شناختن Nanolole‌ها لازم است چند نکته را در مورد گرافیت بدانیم. گرافیت از صفحاتی

1. Richard Smalley
2. Buckminster fullerene
3. Iijima

تشکیل شده است که گرافن^۱ نامیده می شوند. گرافن یک شبکه‌ی لانه زنبوری است که در هر رأس آن یک اتم کربن قرار دارد. هر کدام از اتم‌های گرافن با سه اتم کربن مجاور خود پیوند کووالانسی با هیبرید sp^۲ تشکیل می‌دهد.

بنابراین، هر اتم کربن یک الکترون غیر پیوندی دارد که اوربیتال ۲p_z را اشغال می‌کند. همپوشانی اوربیتال‌های ۲p_z اتم‌های کربن مجاور باعث تشکیل پیوندهایی می‌شود، که شیمی دان‌ها آن‌ها را به نام پیوندهای π می‌شناسند. اوربیتال‌های این پیوندها بر صفحه‌ی گرافن عمود بوده و گستردگی فضایی آن در امتداد صفحه‌ی گرافن کم است به طوری که در اغلب محاسبات می‌توان از همپوشانی این اوربیتال‌ها صرفظیر کرد. در شکل (۲-۱) شبکه‌ی گرافن و سلول واحد آن که شامل دو اتم کربن است نشان داده شده است. در این شکل بردارهای \vec{a}_1 و \vec{a}_2 بردارهای پایه‌ی شبکه هستند که در اینجا $\text{\AA} = \frac{\sqrt{3}}{2} a_0 = 2.46$ می‌باشد (محاسبات در پیوست آمده است). که در این مساحت دو اتم با موقعیتهای $\frac{a_1 + a_2}{3}$ و $\frac{a_1 + a_2}{3}$ وجود دارد (شکل ۲-۱).

صفحات گرافن به صورت مجزا در طبیعت پیدا نمی‌شوند بلکه صفحات روی هم چیده می‌شوند و گرافیت را تشکیل می‌دهند. این صفحات توسط نیروهای ضعیف واندروالسی بهم پیوند می‌خورند و می‌توانند روی هم‌دیگر لغزیده و به آسانی از هم جدا شوند. نانولوله‌ها اساساً از یک یا چند صفحه‌ی گرافن که به شکل استوانه در آمده اند تشکیل می‌شوند. نانولوله‌هایی که تنها دارای یک لایه هستند، نانولوله‌های تک دیواره SWNTs^۲ و نانولوله‌هایی که شامل دو یا چند لایه هستند، نانولوله‌های چند دیواره MWNTs^۳ نامیده می‌شوند در شکل (۳-۱) نانولوله‌های تک دیواره و چند دیواره که به ترتیب توسط میکروسکوپ تونل زنی STM^۴ و میکروسکوپ الکترونی – عبوری با وضوح بالا HRTEM^۵ تصویربرداری شده اند نشان داده شده است.

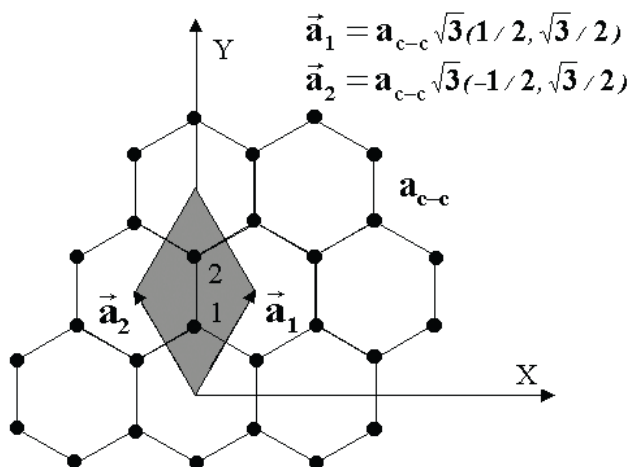
1. Graphene

2. Single wall carbon nanotube

3. Multi-wall carbon nanotube

4. Scanning tunneling microscope

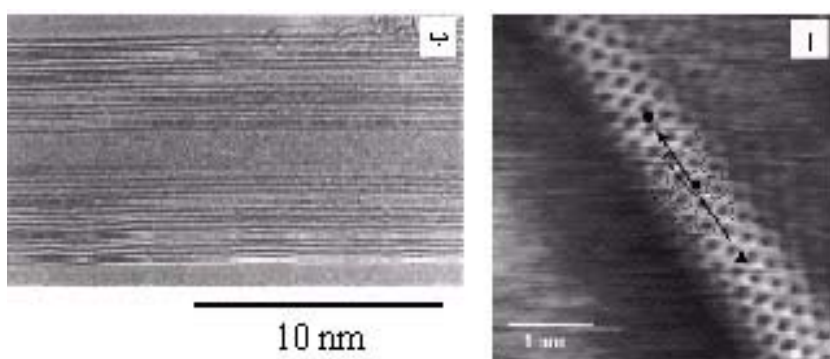
5. High resolution transmission electron microscope



شکل ۲-۱: صفحه‌ی گرافن

۱-۳ ساختار نانو لوله‌های کربنی

ساختار نانو لوله‌های کربنی توسط میکروسکوپ الکترونی عبوری با وضوح بالا HRTEM، میکروسکوپ تونل زن روبشی STM و میکروسکوپ نیروی اتمی AFM^۱ به دقت بررسی شده است. این بررسی‌ها به طور مستقیم تایید کرده اند که نانو لوله‌های کربنی استوانه‌های یکپارچه‌ای از صفحات گرافن هستند که در هر دو انتها توسط نیمکره‌ها یا کلاهک‌هایی شبیه فولرن‌ها مسدود شده اند. همچنین قطر نانولوله‌های کربنی از مرتبه‌ی نانومتر وحداکثر طول آنها از مرتبه‌ی میکرومتر گزارش شده است. در ادامه مطلب به بررسی ساختار نانولوله‌ها می‌پردازیم.

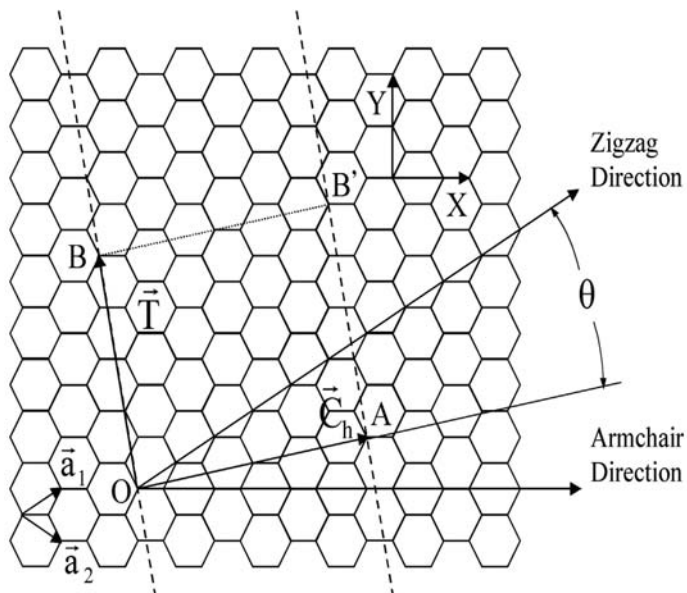


شکل ۱-۳: (الف) نانولوله‌های تک دیواره (ب) نانولوله‌ی چند دیواره

۱-۳-۱ نانولوله های تک دیواره

ساختار نانو لوله های تک دیواره را می توان توسط برداری به نام یکدست^۱ یا توسط دو عدد صحیح n_1 و n_2 توصیف کرد. بردار یکدست $\vec{C}_h = n_1 \vec{a}_1 + n_2 \vec{a}_2$ که در شکل (۴-۱) نشان داده شده است، دو نقطه از شبکه‌ی دو بعدی گرافن را که از لحاظ بلور شناسی معادل هستند به هم متصل می‌کند. برای اینکه تصور بهتری از بردار یکدست به دست آوریم، فرض کنید یک نانو لوله‌ی تک دیواره را در امتداد موازی با محور آن برش داده و روی یک سطح مسطح پهن کنیم در شکل (۴-۱) خطوط خط چین لبه‌های نانولوله یا لبه‌های خط برش را نشان می‌دهند. حال یک نقطه (یک اتم کربن) را بر روی یکی از خطوط در نظر می‌گیریم (نقطه‌ی ۰). سپس از این نقطه خطی را در امتداد صندلی که در شکل (۴-۱) مشخص شده است، رسم می‌کنیم. این خط از هر شش ضلعی که عبور کند، آن را به دو نیمه‌ی مساوی تقسیم می‌کند. حال روی خط برش دیگر نزدیک ترین نقطه به محل تقاطع خط صندلی را می‌یابیم (نقطه‌ی A) و نقاط O, A را توسط بردار یکدست \vec{C}_h به هم متصل می‌کنیم بردار پایه‌ی \vec{a}_1 در امتدادی قرار دارد که به آن امتداد زیگزاگ گفته می‌شود و بردار پایه‌ی \vec{a}_2 تصویر آن نسبت به امتداد صندلی است. زاویه‌ی بین بردار یکدست و امتداد زیگزاگ را زاویه‌ی یکدست یا زاویه‌ی پیچش می‌نامند که در شکل (۴-۱) با θ مشخص شده است. این زاویه‌ی معیاری از پیچش حلقه‌های شش ضلعی کربن حول محور استوانه است.

نانو لوله‌ها را به صورت مناسب می‌توان بر حسب سلول واحد یک بعدی شان توصیف کرد. این سلول توسط بردار یکدست و بردار انتقال شبکه‌ی یک بعدی نانولوله مشخص می‌شود در شکل (۴-۱) مستطیل تشکیل شده از بردارهای \vec{C}_h و \vec{T} سلول واحد یک بعدی نانو لوله است. بردار \vec{T} بردار انتقال شبکه‌ی یک بعدی نانو لوله است و نانو لوله از تکرار سلول واحد یک بعدی اش در امتداد \vec{T} حاصل می‌شود.



شکل ۱-۴ : ساختار نانولوله های تک دیواره

به این دلیل نانولوله ها را به عنوان سیستم های یک بعدی می شناسیم. بردار \vec{T} براز \vec{C}_h عمود بوده و توسط اولین نقطه ای که روی خط برش قرار می گیرد (نقطه B) مشخص می شود. بردار \vec{T} به صورت زیر مشخص می شود:

$$\vec{T} = -\frac{2n_2 + n_1}{n\mathfrak{R}} \vec{a}_1 + \frac{2n_1 + n_2}{n\mathfrak{R}} \vec{a}_2 \quad (1-1)$$

$$|\vec{T}| = \sqrt{3}a_0(n_1^2 + n_1n_2 + n_2^2)^{\frac{1}{2}} / n\mathfrak{R}$$

به طوریکه، n ب.م. n_1 و n_2 عدد صحیحی باشد، $\mathfrak{R}=3$ است و در غیر اینصورت $\mathfrak{R}=1$ خواهد بود. (اثبات رابطه $(1-1)$ در پیوست آمده است).

سلول واحد در واقع یک قطعه ای استوانه ای با ارتفاع $|\vec{T}|$ و مساحت $s_t = |\vec{T}| |\vec{C}_h|$ می باشد که در واقع حاوی

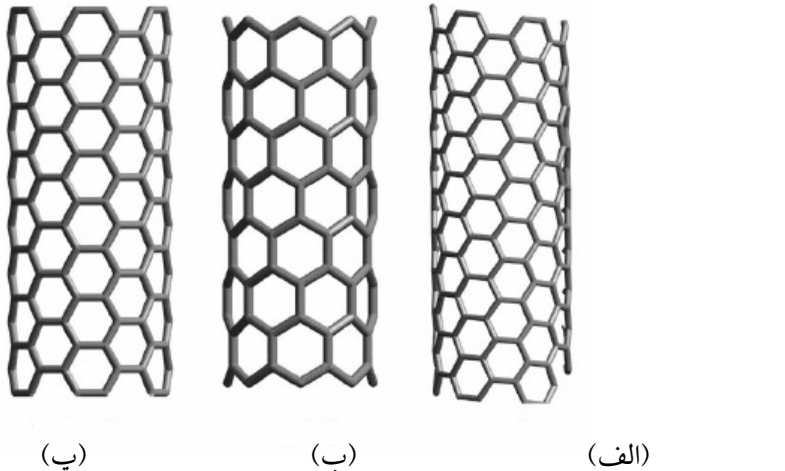
$$\frac{s_t}{s_g} = 2(n_1^2 + n_1n_2 + n_2^2)^{\frac{1}{2}} / n\mathfrak{R} \quad (2-1)$$

سلول واحد گرافنی است و تعداد اتم های کربن موجود در آن دو برابر این مقدار خواهد بود.

نانو لوله ها بر حسب اینکه زاویه θ یکدست آنها چه مقداری داشته باشد، به سه دسته ای اصلی تقسیم می شوند.

اگر بردار \vec{C}_h در امتداد صندلی ($\theta = 30^\circ$) قرار گیرد، نanolوله را نanolوله ای صندلی و درصورتی که بردار \vec{C}_h در امتداد زیگزاگ ($\theta = 0^\circ$) قرار گیرد، نanolوله را زیگزاگ می نامند. این نوع نanolوله ها یک صفحه ای تقارن آینه ای (به موازات محور استوانه و شامل آن) دارند و از این رو آنها را نanolوله های بدون پیچش نیز می نامند. به ازای سایر جهت گیری های بردار \vec{C}_h که متناظر با مقادیر $\theta < 30^\circ$ است نanolوله های یکدست را خواهیم داشت. واضح است که نanolوله های یکدست صفحه ای تقارن آینه ای ندارند.

در نمایش (n_1, n_2) برای بردار $\vec{C}_h = n_1 \vec{a}_1 + n_2 \vec{a}_2$ بردارهای $(n_1, 0)$ و $(n_2, 0)$ متناظر با نanolوله ای زیگزاگ و بردار (n_1, n_1) متناظر با نanolوله ای صندلی است. در شکل (۵-۱) یک نمونه از نanolوله های صندلی، زیگزاگ و یکدست نشان داده شده است.



شکل ۱-۵: (الف) نanolوله ای یکدست (ب) نanolوله ای زیگزاگ (پ) نanolوله ای صندلی

خصوصیات مختلف نanolوله های کربنی را می توان بر حسب اعداد n_1 و n_2 یا بر حسب و زاویه θ یکدست و قطر آنها بیان کرد. قطر نanolوله بر حسب n_1 و n_2 از رابطه زیر به دست می آید:

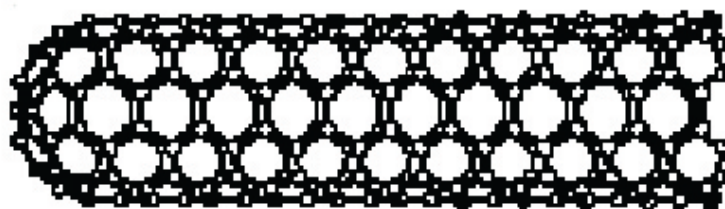
$$d_t = L/\pi = \sqrt{3}a_{c-c}(n_1^2 + n_1n_2 + n_2^2)^{\frac{1}{2}}/\pi \quad (3-1)$$

در این رابطه L طول بردار \vec{C}_h و a_{c-c} طول پیوند کربن - کربن (در حدود 1.42 \AA) است. قطر متوسط نanolوله های تک دیواره در حدود 4 nm و طول آنها بالغ بر ده ها میکرومتر است. همچنین زاویه θ یکدست را می توان بر حسب n_1 و n_2 از رابطه زیر به دست آورد:

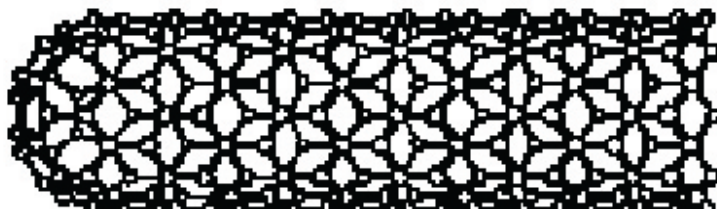
$$\theta = \tan^{-1} \left[\sqrt{3}n_1 / (2n_1 + n_2) \right] \quad (4-1)$$

توجه داشته باشید که در هندسه SWCNT که در بالا ذکر شد فرض شده است که عمل خم کردن صفحه‌ی گرافیتی برای تبدیل شدن به نانولوله اثری روی پیوند C-C نمی‌گذارد و طول این پیوند در نانولوله برابر است با طول پیوند در صفحه‌ی گرافیتی، اما طول این پیوند وقتی که آنرا در راستای محور نانولوله اندازه گیری می‌کنیم فرق می‌کند و هنگامی که آنرا در راستای بردار \vec{C}_h اندازه می‌گیریم کوچکتر خواهد بود. نانولوله‌های کربنی در انتهای خود دارای کلاهک می‌باشند اگر که مولکول C_{60} را به دو نیم تقسیم کنیم و به قسمت استوانه‌ای نانولوله اضافه کنیم به این مقصود می‌رسیم. اگر مولکول C_{60} عمود بر محور پنج گانه به دو نیم شود، کلاهک صندلی بوجود می‌آید (شکل ۱-۶الف) و اگر عمود بر محور سه گانه به دو نیم شود کلاهک زیگزاگ بوجود می‌آید. کلاهک یکدست نیز در شکل ۱-۶پ نشان داده شده است. کلاهک نانولوله‌هایی با قطر بزرگتر می‌تواند توسط فولرن‌های بزرگتر مانند مولکولهای C_{80} و C_{70} تولید شوند.

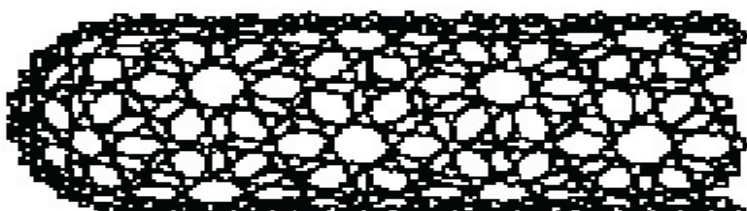
(الف)



(ب)

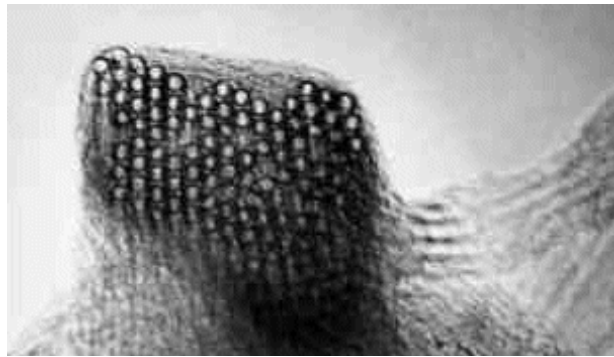


(پ)



شکل ۱-۶: نانولوله‌های (الف) صندلی (ب) زیگزاگ (پ) یکدست با کلاهک فولرن

بیشتر مواقع نانو لوله های تک دیواره در کنار یکدیگر جمع می شوند و یک دسته نانولوله را تشکیل می دهند تصویر بردارهای انجام شده توسط میکروسکوپ TEM و اندازه گیری های پراش اشعه X نشان می دهند که دسته نانولوله ها آرایه ای از نانولوله های تک دیواره هستند که در یک شبکه میثاً دو بعدی در امتداد یک راستای معین چیده شده اند. این شبکه میثاً ثابت شبکه ای در حدود 17 \AA دارد. تعداد نانولوله های تک دیواره در یک دسته نانولوله به چند صد عدد می رسد و توزیع قطر نانولوله ها تقریباً یکنواخت است [۳]. در شکل (۷-۱) یک دسته نانولوله نشان داده شده که تحت تاثیر وزن خود خمیده شده است. مجموعه ای از دسته نانولوله های به هم پیچیده یک رشته نانولوله نامیده میشود.



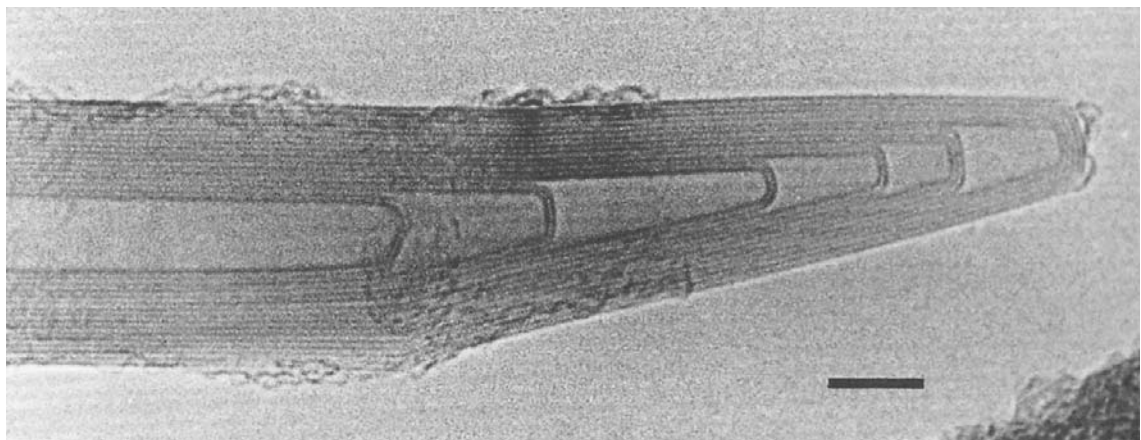
شکل ۱-۷: تصویر یک دسته نانولوله که به روش تبخیر لیزری تولید شده

۲-۳-۱ نانو لوله های چند دیواره

نانولوله های چند دیواره از چند (۲ - ۳۰) لایه ای استوانه ای تقریباً هم محور تشکیل می شوند. هر کدام از این لایه ها می توان به عنوان یک نانولوله ای تک دیواره در نظر گرفت که دارای زاویه ای پیچش مربوط به خود است. بر خلاف گرافیت که می توان لایه های مجاور را دسته بندی کرد در نانولوله های چند دیواره لایه های مجاور معمولاً تناسبی با هم ندارند این بی نظمی در چیده شدن لایه ها سبب می شود که جفت شدگی الکترونی بین لایه ها نسبت به گرافیت کمتر باشد. فاصله ای بین لایه ها در نانولوله های چند دیواره nm 34 ر است که نزدیک به فاصله ای بین لایه ها در گرافیت توربواستراتیک^۱ است. ساختار نوک لایه ها در نانولوله های چند دیواره بسیار نزدیک به ساختار فولرن های ایکوساهدرال^۲ است. در شکل (۸-۱) تصویر یک نانولوله ای چند دیواره با بزرگنمایی بسیار بالا نشان داده شده است.

1.Turbostratic
2. Icosahedral

طول نانولوله های چند دیواره $1\mu m$ و قطر آنها از ۱ الی ۳۰ نانومتر تغییر می کند بزرگ بودن قطر نانولوله های چند دیواره امکان مطالعه ای پدیده های کوانتمی نظیر اثر آهارانوف - بوهم را در میدان های قابل دسترس در آزمایشگاه فراهم می آورد . در حالی که مطالعه ای همین اثر در مورد نانولوله های تک دیواره نیازمند میدانی بالغ بر $T = 600$ است که عملا دور از دسترس می باشد .



شکل ۸-۱: تصویر یک نانولوله ای چند دیواره با بزرگ نمایی بسیار بالا

۱-۴ خواص الکترونی نانولوله ها

نانولوله ای تک دیواره اساسا یک لایه ای دو بعدی از گرافیت(صفحه ای گرافن) است که به شکل استوانه در آمده است. بنابراین می توان انتظار داشت که خصوصیات نانولوله ای با قطر بسیار بزرگ شباهت زیادی به خصوصیات صفحه ای گرافن داشته باشد. در واقع نشان داده است که حتی برای نانولوله های با قطر کوچک نیز اثر انحنای نانولوله کوچک بوده و در نزدیکی تراز فرمی می توان از آن صرف نظر کرد.(همان طور که می دانیم خصوصیات مواد در دماهای پایین تنها به ترازهایی انرژی نزدیک به تراز فرمی بستگی دارد)[۲]. اجازه دهید اگر چه خلاصه، تغییراتی که در خواص الکترونی صفحات گرافنی ، وقتی خمیده شده و به نانولوله تبدیل می شوند را بررسی کنیم. صفحه ای گرافن نامحدود، یک نیمه رسانا با گاف انرژی صفر یا یک شبه فلز است. حالتهای الکترونی برای SWNT های نامتناهی در راستای محور نانولوله ، پیوسته هستند اما در راستای محیط کوانزیه می شوند [۳] .